

- ние — частота с эталонным возвратом.— В сб. «Коммутация и преобразование малых напряжений». Л., ЛДНТП, 1968.
4. С. Л. Судьин. Формирователь импульсов. Авторское свидетельство № 356784.— ИПОТЗ, 1972, № 32.
  5. В. И. Анисимов, А. П. Голубев. Транзисторные модуляторы. М.—Л., «Энергия», 1964.
  6. С. Л. Судьин. Преобразователь напряжение — частота повышенной точности.— Автометрия, 1968, № 5.

*Поступила в редакцию 12 октября 1971 г.,  
окончательный вариант — 21 января 1972 г.*

УДК 621.314.2.089.6 : 621.317.738

**В. И. СМЕТАНИН**  
*(Новосибирск)*

## **ПОГРЕШНОСТИ СЛЕДЯЩИХ ПРЕОБРАЗОВАТЕЛЕЙ ЭЛЕКТРИЧЕСКОЙ ЕМКОСТИ В ЧАСТОТУ**

При дистанционном сличении мер, приобретающем особое значение в автоматизированном эксперименте, возникает проблема синтеза преобразователей какой-либо физической величины в частоту или интервал времени с характеристикой преобразования, стабильной во времени [1]. Стабильность характеристики может обеспечиваться несколькими способами, в том числе при помощи образцовых мер других физических величин. К таким преобразователям предъявляется ряд специфических требований [2]: во-первых, число физических величин, меры которых стабилизируют характеристику преобразования, должно быть минимально; во-вторых, такие меры должны обладать высокой стабильностью и надежностью при малых затратах; в-третьих, в процессе поверки, осуществляемой с помощью таких преобразователей, необходимо определить, как это принято в метрологической практике, основные и остаточные параметры поверяемой меры.

Наиболее гибкими преобразователями электрической емкости, позволяющими получить широкий диапазон изменения частоты, высокую точность и стабильность преобразования, являются преобразователи, основанные на использовании электроизмерительных цепей, уравновешиваемых изменением частоты питающего напряжения или тока [3—6]. Как отмечено в [4, 6], такие преобразователи свободны от недостатков, присущих автогенераторным преобразователям и преобразователям на основе систем с внешним возбуждением (основным недостатком первых является зависимость характеристики преобразования от параметров электронных приборов, а вторых — трудность обеспечения малого затухания переходного процесса, особенно в области низких частот или при использовании  $RC$ - и  $RL$ -цепей; кроме того, характеристика преобразования тех и других принципиально нелинейна).

К сожалению, ни один из известных преобразователей [3—6], позволяющих осуществить преобразование емкости в частоту с использованием простейших измерительных  $RC$ -цепей уравновешивания, не удовлетворяет в полной мере изложенным выше требованиям и, главным образом не дает возможности осуществить прямое раздельное преобразование каждого из параметров исследуемой меры (как ос-

новного, так и остаточного) в частоту. Действительно, в преобразователях с мостовой [4] или двухэлементной [5] измерительной цепью в модульном режиме квазиравновесия наличие потерь в конденсаторе приводит к неопределенной систематической погрешности. Использование компонентного режима в сочетании с двухэлементной измерительной цепью [6] позволяет преобразовать реактивный параметр комплексного сопротивления в частоту независимо от резистивного и наоборот. Однако для преобразования резистивного параметра требуется «чистая» образцовая реактивность, что противоречит поставленному вначале условию и практически неосуществимо для мер емкости; этот же недостаток присущ предложенному в [3] преобразователю с мостовой уравновешенной схемой в качестве измерительной цепи.

В связи с указанным для решения поставленной задачи потребовалось воспользоваться рассмотренной в [2] методикой определения обоих параметров исследуемой меры путем проведения двукратных измерений с последующим решением полученной системы уравнений. При этом оказалось наиболее целесообразным взять за основу использовавшуюся в [4] мостовую квазиравновешенную цепь [7] в модульном режиме, содержащую наряду с исследуемой мерой три резистивных элемента.

Ниже охарактеризована вкратце используемая цепь и дан анализ погрешности следящего преобразователя с такой цепью.

На рисунке приведена схема преобразователя электрической емкости в частоту с мостовой измерительной  $RC$ -цепью и модульным указателем разновременного сравнения (МУРС), который с помощью схемы управления (СУ) воздействует на частоту генератора ( $\Gamma$ ). Как отмечается в [8, 9], на работу таких указателей одноканальной структуры не влияют погрешности аддитивного и мультиплектирующего характера. Результаты исследований, приведенные в [10], показывают, что подобные указатели могут обеспечить высокие точность и быстродействие.

При установлении равенства модулей напряжений  $U_{ad}$  и  $U_{ac}$  в схеме (см. рисунок) частота колебаний генератора будет определяться выражением

$$\omega = \frac{\sqrt{1 - b^2} \left(1 + \frac{R_1}{R}\right)^2}{R_1 C b} \approx \frac{\sqrt{1 - b^2}}{R_1 C b} \left(1 - \frac{b^2}{1 - b^2} \frac{R_1}{R}\right), \quad (1)$$

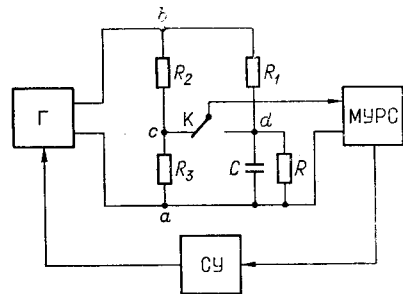
где  $b = R_3/(R_2 + R_3)$ ;  $R$  — сопротивление потерь конденсатора  $C$ . При взаимозамене плеч  $R_1$  и  $RC$  условие квазиравновесия изменится:

$$\omega' = \frac{1}{R_1 C} \sqrt{\frac{b^2 \left(1 + \frac{R_1}{R}\right)^2 - \frac{R_1^2}{R^2}}{1 - b^2}} \approx \frac{b}{R_1 C \sqrt{1 - b^2}} \left(1 + \frac{R_1}{R}\right). \quad (2)$$

В отличие от исходной схемы (см. рисунок) выражения, относящиеся к данной схеме, здесь и в дальнейшем будут помечены штрихом.

Приближенные выражения получены при условии  $R_1 \ll R$ , что обычно имеет место.

Из (1) и (2) видно, что период колебаний линейно зависит от преобразуемой емкости и для этого нет необходимости накладывать



условие  $R_3 \ll R_2$  [4], выполнение которого ведет к резкому снижению чувствительности моста, к изменениям преобразуемого параметра. Используя систему уравнений (1), (2), несложно определить параметры  $R$  и  $C$  исследуемой меры.

Систематическая относительная погрешность, вносимая параметром  $R$  при преобразовании емкости в частоту, по сравнению с идеальной мерой, как нетрудно заметить из (1), (2), будет определяться выражениями:

$$\delta\omega_R \approx -\frac{b^2}{1-b^2} \frac{R_1}{R}; \quad \delta\omega'_R \approx \frac{R_1}{R}. \quad (3)$$

Заметим, что если  $b = \frac{1}{\sqrt{2}}$ , то  $-\delta\omega_R = \delta\omega'_R$  и  $\omega = \omega'$ ; следовательно, сумма частот  $\omega$  и  $\omega'$  в первом приближении не зависит от параметра  $R$ , а разность этих частот от параметра  $C$  исследуемой меры.

В реальном преобразователе режим квазиравновесия выполняется неидеально и характеристика преобразования будет зависеть от типа системы регулирования, напряжения питания мостовой схемы, коэффициента усиления в цепи управления, входного сопротивления и входной емкости указателя.

В соответствии с [11] необходимым и достаточным условием полной независимости точности установки модульного режима квазиравновесия от входного сопротивления одноканального указателя разновременного сравнения является условие

$$Z_{ac} = Z_{ad},$$

где  $Z_{ac}$  и  $Z_{ad}$  — выходные сопротивления частотно-зависимой цепи, определенные относительно зажимов  $ac$  и  $ad$  соответственно. Очевидно, что в рассматриваемом случае выполнить это требование невозможно, однако при некоторых ограничениях, накладываемых на входное сопротивление указателя  $Z_y$ , можно найти соотношение параметров частотно-зависимой цепи, при котором также будет исключено влияние  $Z_y$  на точность установки режима квазиравновесия. Так, если считать входное сопротивление чисто резистивным ( $Z_y = R_y$ ), то из условия независимости режима квазиравновесия от входного сопротивления [11] и с учетом того, что частота в момент квазиравновесия определяется выражениями (1), (2), можно получить следующее требование, предъявляемое к входному сопротивлению  $R_y$ :

$$R_y = \frac{RR_3(R_2^2 - R_1^2)}{2[R_1R_3(R + R_1) - RR_2(R_2 + R_3)]}; \quad (4)$$

$$R_y' = \frac{RR_2(R_3^2 - R_1^2) + 2R_1R_3(R_2R_3 - RR_1)}{2[R_1(R + R_1)(R_2 + 2R_3) - R_3(R_2 + R_3)(R + 2R_1)]}. \quad (5)$$

Эти выражения получены при условии, что измерительная цепь питается от источника напряжения.

Проанализируем влияние других факторов на характеристику преобразования в случае статической системы регулирования.

Пусть характеристика управления генератора будет близка к линейной:

$$\omega = \omega_0 + aU_{\text{упр}},$$

где  $a$  — коэффициент, определяющий крутизну характеристики управления генератора. Учитывая, что

$$U_{\text{упр}} = K(|U_{ad}| - |U_{ac}|),$$

получим уравнение, решая которое относительно  $\omega$ , можно найти выражение для частоты установившихся колебаний генератора

$$\omega = \omega_0 + abKU \left[ \frac{d}{b\sqrt{1+(dR_1C\omega)^2}} - 1 \right]. \quad (6)$$

Здесь

$$b = \frac{1}{1 + \frac{R_2}{R_3} + \frac{R_2}{R_y}}; \quad d = \frac{1}{1 + \frac{R_1}{R_y} + \frac{R_1}{R}};$$

$K$  — коэффициент усиления в цепи управления;  $U$  — амплитуда колебаний, подводимых к мостовой схеме;  $R_y$  — входное сопротивление указателя.

Алгебраические преобразования выражения (6) приводят к уравнению четвертой степени  $\omega$ , точное решение которого чрезвычайно громоздко и неудобно для анализа. Однако при большом коэффициенте усиления выражение в квадратных скобках весьма близко к нулю, поэтому первый его член можно разложить в ряд Тейлора при значениях  $\omega$ , обращающих его в единицу, ограничившись двумя первыми членами ряда. Тогда уравнение (6) примет вид

$$\omega = \omega_0 + abKU \left( 1 - \frac{b^2}{d^2} - \omega bdR_1C \frac{\sqrt{d^2 - b^2}}{d} \right). \quad (7)$$

Решение (7) относительно  $\omega$  дает функцию преобразования преобразователя

$$\omega = \frac{\sqrt{d^2 - b^2}}{bdR_1C} \left[ 1 + \frac{d^2}{(d^2 - b^2)bK_aU} \left( \omega_0 - \frac{\sqrt{d^2 - b^2}}{bdR_1C} \right) \right]. \quad (8)$$

При взаимозамене плеч  $R_1$  и  $RC$  аналогичные преобразования дают следующее выражение для частоты колебаний на выходе преобразователя:

$$\omega' = \frac{\sqrt{b^2 - e^2}}{dR_1C \sqrt{1 - b^2}} \left[ 1 - \frac{b(1 - e^2)}{aKU(1 - b^2)(b^2 - e^2)} \left( \omega_0 - \frac{\sqrt{b^2 - e^2}}{dR_1C \sqrt{1 - b^2}} \right) \right]. \quad (9)$$

Здесь  $e = dR_1/R$ .

В соответствии с [12] оценим влияние погрешностей параметров схемы преобразователя путем нахождения весовых коэффициентов относительных погрешностей

$$\delta\omega = G_{R_1}\delta R_1 + G_{R_2}\delta R_2 + \dots,$$

где  $G_{R_1} = \frac{R_1}{\omega} \frac{\partial\omega}{\partial R_1}$ ;  $G_{R_2} = \frac{R_2}{\omega} \frac{\partial\omega}{\partial R_2}$ ; ... — весовые коэффициенты относительных погрешностей элементов  $R_1$ ,  $R_2$  и т. д.;  $\delta R_1$ ,  $\delta R_2$ , ... — относительные погрешности элементов  $R_1$ ,  $R_2$  и т. д.

Так как  $\frac{1}{K} \ll 1$ , то при нахождении весовых коэффициентов пренебрежем членами уравнений (8), (9), содержащими этот множитель, за исключением весовых коэффициентов параметров  $a$ ,  $K$ ,  $\omega_0$ ,  $U$ . Выражения полученных таким образом коэффициентов приведены в таблице.

Проанализируем полученные результаты.

1. Погрешность преобразования, вызванная изменением  $K$ ,  $a$  и  $U$ , зависит от преобразуемого параметра  $C$ . Найдем максимальное значение их весовых коэффициентов. Необходимо отметить, что вторым членом выражения в знаменателе по сравнению с единицей при большом  $K$  можно пренебречь, а второй член выражения в квадратных скобках числителя в этом случае приблизительно равен частоте на выходе преобразователя, т. е. погрешность будет максимальна на краях

Коэффициент полного стока	$ U_{ad}  =  U_{ac} $	$ U'_{ad}  =  U'_{ac} $
$G_k$	$\frac{d^2}{(d^2 - b^2)abKU} \left[ \omega_0 - \frac{\sqrt{d^2 - b^2}}{bdR_1C} \right]$	$\frac{b(1 - e^2)}{(1 - b^2)(b^2 - e^2)aKU} \left[ \omega_0 - \frac{1}{dR_1C} \sqrt{\frac{b^2 - e^2}{1 - b^2}} \right]$
$G_a$	$1 + \frac{d^2}{(d^2 - b^2)abKU} \left[ \omega_0 - \frac{\sqrt{d^2 - b^2}}{bdR_1C} \right]$	$1 + \frac{b(1 - e^2)}{(1 - b^2)(b^2 - e^2)aKU} \left[ \omega_0 - \frac{1}{dR_1C} \sqrt{\frac{b^2 - e^2}{1 - b^2}} \right]$
$G_u$		
$G_{R_y}$	$\frac{bd}{(d^2 - b^2)R_y} \left( bR_1 - dR_2 \right)$	$\frac{b^2}{R_y(b^2 - e^2)} \left[ \frac{b(1 - e^2)}{1 - b^2} R_2 - dR_1 \right]$
$G_{R_1}$	$-1 - \frac{R_1(R + R_y)db^2}{RR_y(d^2 - b^2)}$	$-1 + \frac{dR_1(R + R_y)}{RR_y} - \frac{ed^2R_1}{(b^2 - e^2)(1 - b^2)} R$
$G_{R_3}$	$\frac{bd^2R_2}{(d^2 - b^2)R_3} \left( 1 + \frac{R_3}{R_y} \right)$	$-\frac{b^3(1 - e^2)R^2}{(b^2 - e^2)(1 - b^2)R_3} \left( 1 + \frac{R_3}{R_y} \right)$
$G_{R_2}$	$-\frac{bd^2R_3}{(d^2 - b^2)R_3}$	$\frac{b^3(1 - e^2)R_2}{(b^2 - e^2)(1 - b^2)R_3}$
$G_{\omega_0}$	$(b^2 - b^2)abKU \left[ 1 + \frac{d^2}{(d^2 - b^2)abKU} \left( \omega_0 - \frac{\sqrt{d^2 - b^2}}{bdR_1C} \right) \right]$	$\frac{b(1 - e^2)\omega_0}{aKU(1 - b^2)(b^2 - e^2)} \left[ 1 + \frac{b(1 - e^2)}{aKU(1 - b^2)(b^2 - e^2)} \times \right. \\ \left. \times \left( \omega_0 - \frac{1}{dR_1C} \sqrt{\frac{b^2 - e^2}{1 - b^2}} \right) \right]$

частотного диапазона преобразователя. Отсюда можно сделать вывод, что частоту  $\omega_0$  лучше всего выбирать как среднеарифметическое из верхней  $\omega_B$  и нижней  $\omega_H$  частот диапазона. В этом случае максимальное значение указанных коэффициентов будет равно

$$G_a = G_K = G_U = -\frac{d^2}{(d^2 - b^2) ab KU} \frac{\omega_B - \omega_H}{2}; \quad (10)$$

$$G'_a = G'_K = G'_U = \frac{b(1-e^2)}{a K U (1-b^2)(b^2-e^2)} \frac{\omega_B - \omega_H}{2}. \quad (10a)$$

Исследование этих выражений на минимум по параметру  $b$  показывает, что они будут минимальны при

$$b = \frac{d}{\sqrt[3]{3}} \approx \frac{1}{\sqrt[3]{3}}; \quad (11)$$

$$b' = \sqrt{\frac{1+e^2 + \sqrt{1+14e^2 + e^4}}{6}}. \quad (11a)$$

Последнее выражение можно упростить, если принять  $R \gg R_1$ , т. е.  $e \ll 1$ . Тогда

$$b' \approx \frac{1+2e^2}{\sqrt[3]{3}} \approx \frac{1}{\sqrt[3]{3}}. \quad (11b)$$

При этих условиях максимальные значения обоих весовых коэффициентов будут равны

$$G_{a,K,U} = G'_{a,K,U} = \frac{3\sqrt[3]{3}}{4a K U} (\omega_B - \omega_H). \quad (12)$$

2. Приравняв весовые коэффициенты входного сопротивления указателя  $G_{R_y}$ ,  $G'_{R_y}$  нуль (см. таблицу), можно найти соотношение параметров схемы, при котором влияние изменений  $R_y$  на характеристику преобразования будет незначительно:

$$R_y = \frac{RR_3(R_2^2 - R_1^2)}{R_1 R_3 (R + R_1) - RR_2(R_2 + R_3)}; \quad (13)$$

$$R'_y = R_3 \frac{2R_y^2 R_1 (R + R_1) + R_1^2 R (R_3 + 2R_y) - R_3 R_y^2 (R + 2R_1)}{R_3 R_y (R_3 + R_y) (R + 2R_1) - R_1 (R_3^2 - R_y^2) (R + R_1) - R_1^2 R (R_3 + R_y)}. \quad (14)$$

Сравнивая эти выражения с (4), (5), можно заметить, что условия (4) и (13) несовместимы, а решение системы уравнений (5) и (14) приводит к отрицательным значениям  $R_y$ .

При выполнении равенств (4), (5) характеристика преобразования не зависит от входного сопротивления, однако нарушение их может вызвать значительные погрешности, так как (13) и (14) в этом случае невыполнимы. При выборе параметров схемы в соответствии с (13), (14) погрешности входного сопротивления практически не оказывают влияния на характеристику преобразования, но в этом случае  $R_y$  входит в условия квазиравновесия цепи и его следует считать параметром цепи уравновешивания.

Следовательно, если входное сопротивление указателя достаточно стабильно, предпочтительнее использовать режим (4), (5), так как функция преобразования при этих условиях проще; в противном случае необходимо применять условия (13), (14).

3. При  $R_1 \ll R$  и  $R_1 \ll R_y$  коэффициент  $G_{R_1} \approx -1$ , т. е. к стабильности резистора  $R_1$  предъявляются жесткие требования.

4. Если  $R_3 \ll R_y$ , то  $G_{R_2} \approx -G_{R_3}$ ; это значит, что при одинаковой конструкции и материале этих резисторов изменения их от внешних условий не будут вызывать значительных погрешностей.

5. Изменение частоты  $\omega_0$  также вызывает погрешности, которые уменьшаются с увеличением коэффициента усиления в цепи управления относительной крутизны характеристики управления  $a_0 = a/\omega_0$  и напряжения  $U$ . Исследование выражений для  $G_{\omega_0}$  и  $G'_{\omega_0}$  на минимум по параметру  $b$  при условиях  $R_1 \ll R$ ,  $R_1 \ll R_y$  и  $K \gg 1$  показывает, что они будут минимальны при

$$b \approx \frac{1}{\sqrt{3}}. \quad (15)$$

6. В выражениях (8), (9) не учтено влияние входной емкости индикатора. Для простоты рассмотрим ее воздействие на характеристику преобразования без учета других влияющих факторов ( $R_y$ ,  $R$ ,  $K$ ), что допустимо, если  $R_y \gg R_1$  и  $R \gg R_1$ , а коэффициент усиления  $K$  достаточно велик. В этом случае

$$\omega = \frac{\sqrt{1 - b^2}}{bR_1C \sqrt{\left(1 + \frac{C_y}{C}\right)^2 - \frac{C_y^2 R_1^2}{C^2 R_1^2}}}. \quad (16)$$

Выражение для  $\omega'$  получается очень громоздким, однако если принять, что  $\frac{C_y}{C} \ll 1$ , то его можно существенно упростить:

$$\omega' = \frac{b}{R_1C \sqrt{1 - b^2 \left(1 + \frac{C_y}{C}\right)^2}}. \quad (16a)$$

Из выражений (16), (16a) видно, что зависимость периода от емкости  $C$  нелинейна. Оценим нелинейность характеристики коэффициентом нелинейности

$$\alpha = \frac{\left(\frac{\partial T}{\partial C}\right)_{\max} - \left(\frac{\partial T}{\partial C}\right)_{\min}}{\left(\frac{\partial T}{\partial C}\right)_{\max}};$$

$$\alpha = 1 - \sqrt{\frac{1 + \frac{2C_y}{C_{\max}}}{1 + \frac{2C_y}{C_{\min}}}} \approx \frac{C_y}{C_{\min}} \left(1 - \frac{C_{\min}}{C_{\max}}\right); \quad (17)$$

$$\alpha' = 1 - \sqrt{\frac{1 + \frac{b^2 2C_y}{C_{\max}(1 - b^2)}}{1 + \frac{2b^2 C_y}{(1 - b^2) C_{\min}}}} \approx \frac{b^2 C_y}{(1 - b^2) C_{\min}} \left(1 - \frac{C_{\min}}{C_{\max}}\right). \quad (17a)$$

Здесь  $C_{\max}$  и  $C_{\min}$  — максимальное и минимальное значения диапазона преобразуемых емкостей. Приближенные равенства получены из условия, что  $C_y \ll C_{\min}$ . Из выражений (17), (17a) видно, что при большом коэффициенте перекрытия диапазона коэффициент нелинейности определяется в основном минимальным значением преобразуемой емкости. Следует отметить, что коэффициент  $\alpha'$  зависит от параметра  $b$  и может быть существенно меньше коэффициента  $\alpha$ . Так, при оптимальном  $b$  значение  $\alpha'$  примерно в два раза меньше  $\alpha$ .

Формулы весовых коэффициентов погрешности входной емкости имеют вид:

$$G_{C_y} = \frac{1}{1 + \frac{C_y}{C}} \approx \frac{C_y}{C}; \quad (18)$$

$$G'_{C_y} = \frac{\frac{b^2}{1 + \frac{C_y}{C}}}{1 - b^2 \left(1 + \frac{C_y}{C}\right)^2} \approx \frac{b^2 C_y}{(1 - b^2) C}, \quad (18a)$$

т. е. во втором случае весовой коэффициент может быть также меньше при соответствующем выборе параметров схемы.

## ВЫВОДЫ

Определение обоих параметров меры емкости с помощью преобразователей следящего уравновешивания с измерительной  $RC$ -цепью возможно при использовании мостовой измерительной цепи с одним реактивным элементом в модульном режиме квазиравновесия (см. рисунок) путем двухкратных измерений при различном включении элементов измерительной цепи с последующим решением системы из двух уравнений.

Погрешности преобразования, вызванные нестабильностью параметров схемы, будут минимальны, если  $R_2 \approx R_3(\sqrt{3} - 1)$ , однако в этом случае частоты  $\omega$  и  $\omega'$  примерно в два раза отличаются друг от друга. Так как параметры исследуемой меры всегда частотно-зависимы, то это может привести к появлению неопределенной погрешности, поэтому предпочтительнее выбирать соотношение параметров схемы, при котором  $\omega \approx \omega'$ . Это может быть достигнуто при  $R_2 \approx R_3(\sqrt{2} - 1)$ .

## ЛИТЕРАТУРА

1. А. И. Васильев, Ю. П. Дробышев, А. Ф. Котюк, А. Г. Флер. Дистанционное сличение мер и измерительных приборов.—Измерительная техника, 1969, № 12.
2. В. И. Сметанин. Определение систематических погрешностей преобразователя поверяемой меры при дистанционном сличении мер.—Труды СГНИИМ, вып. 7. Новосибирск, 1970.
3. В. Ю. Кнеллер, Л. Н. Соколов. Мостовые преобразователи сопротивления, емкости и индуктивности в частоту.—Измерительная техника, 1963, № 3.
4. А. А. Бахтизион, В. С. Попов. Частотный измерительный преобразователь сопротивления, емкости, индуктивности.—ИВУЗ, Приборостроение, 1968, № 9.
5. М. М. Фетисов. Метод преобразования параметров электрических цепей в изменение частоты.—Измерительная техника, 1964, № 1.
6. С. М. Казаков, В. А. Красilenko, К. М. Соболевский. Раздельное преобразование параметров пассивных комплексных величин методами уравновешивания.—Автометрия, 1968, № 5.
7. К. Б. Карапеев, Г. А. Штамбергер. Обобщенная теория мостовых цепей переменного тока. Новосибирск, Изд-во СО АН СССР, 1961.
8. С. М. Казаков, К. М. Соболевский, В. Н. Сумительнов. Указатели измерительных состояний цепей уравновешивания.—Автометрия, 1968, № 6.
9. А. Д. Ниженский, Ю. А. Скрипник. Измерение неравномерностей частотных характеристик комплексных сопротивлений.—В сб. «Исследование электроизмерительных и магнитоизмерительных устройств». Киев, «Наукова думка», 1967.
10. В. Н. Сумительнов. Разработка и исследование указателей измерительных состояний (применительно к раздельному измерению параметров комплексных величин). Автореферат канд. дисс. Новосибирск, 1971.
11. С. М. Казаков, К. Б. Карапеев, К. М. Соболевский. К теории квазиуравновешенных электронизмерительных цепей.—Автометрия, 1967, № 3.
12. В. И. Сметанин. Анализ погрешностей преобразователя электрической емкости в интервал времени.—Труды СГНИИМ, вып. 7. Новосибирск, 1970.

Поступила в редакцию 15 сентября 1971 г.,  
окончательный вариант — 4 апреля 1972 г.